



بررسی رفتار ژئوشیمیایی عناصر نادر خاکی در آپاتیت‌های جزیره هرمز

علی رستمی^{۱*}، مرضیه بازآمد^۲، بهزاد حاج علیلو^۱، محسن مؤذن^۳

- (1) گروه زمین‌شناسی، دانشگاه پیام نور، ایران
 (2) کارشناس ارشد زمین‌شناسی اقتصادی، دانشگاه تهران، ایران
 (3) دانشکده علوم طبیعی، دانشگاه تبریز، ایران

دریافت مقاله: 1392/1/18، پذیرش: 1392/6/4

چکیده

منطقه مورد مطالعه در سه کیلومتری جنوب غربی جزیره هرمز، در استان هرمزگان واقع است. واحدهای اصلی زمین‌شناسی منطقه توده اسیدی گرانوفیر که بهشدت دگرسان شده و عامل به وجود آور نده آپاتیت‌های منطقه است، دایک دیابازی، مارن و بازالت تجزیه شده می‌باشند. آپاتیت تنها کانی فسفاته تمرکزدهنده عناصر نادر خاکی در جزیره هرمز است. در این آپاتیت‌ها، مقدار اکسیدهای SiO_2 بالا و مقدار متوسط عناصر اصلی چون Fe, Mg, Al, Ca بترتیب برابر با 2880 ppm, 27.8% 7.5 ppm, 365 ppm, Na₂O می‌باشد. با افزایش تفریق ماقمایی میزان عناصر Rb, Y, Mn, Rb و میزان Sr کاهش می‌یابد، میزان این عناصر در آپاتیت‌های هرمز به گونه‌ای است که تفریق ماقمایی متوسط را نشان می‌دهند. مجموع عناصر REE (REE/HREE = 1.22-2.25%) در آپاتیت‌های هرمز بالا هستند. بنابراین آپاتیت‌های هرمز از عناصر نادر خاکی سبک غنی شده‌اند. شبک الگوی بهنجار شده نسبت به کندریت این عناصر منفی و همراه با آنومالی منفی Eu می‌باشد. از نمودارهای مختلف متمایزکننده انواع واحدهای سنگی براساس ترکیب آپاتیتها مشخص شده است که آپاتیتهای هرمز به گرانیتوئیدهای نوع I مافیک با درجه اکسیدشدن بالا ($\text{Fe}_2\text{O}_3/\text{FeO} > 1$) تعلق دارند.

واژه‌های کلیدی: عناصر نادر خاکی، آپاتیت، جزیره هرمز، ژئوشیمی REE

فسفاته، در تیتانیت به فرمول CaTiSiO_5 و آلانیت نیز

مقداری عناصر نادر خاکی متمرکز می‌شوند [3]. عناصر نادر خاکی به دو زیرگروه LREE یا عناصر نادر خاکی سبک شامل هفت عنصر (از عدد اتمی 57 تا 63) و HREE یا عناصر نادر خاکی سنگین (از عدد اتمی 64 تا 71) تقسیم می‌شوند [4].

این عناصر در ضمن فرآیندهای ماقمایی دچار تفکیک می‌شوند و به دلیل تغییر بسیار ملایم شعاع یونی، نمایشگرهای حساسی برای فرآیندهای مختلف آذرین می‌باشند. بازالت‌های اقیانوسی عموماً کمترین الگوهای تفکیک شده این عناصر را نسبت به فراوانی آنها در کندریت، نشان می‌دهند. بازالت‌های قاره‌ای تا حدودی الگویی تفکیک یافته دارند و همراه با افزایش عدد اتمی، تهی شدگی نسبی بیشتری در این بازالت‌ها مشاهده

مقدمه

عناصر نادر خاکی دارای بار الکتریکی و شعاع یونی نسبتاً بالا بوده ولی غلظت آنها در کانیهای کم است. این عناصر میل کمی به جای گزین شدن عناصر اصلی طی تبلور ماقمایی دارند. بنابراین بیشتر در کانیهای فرعی متمرکز می‌شوند. کانیهای فسفاته اهمیت بسیار زیادی در مرکز عناصری نظریer REE، U, Th, Sr و F دارند [1] و [2]. کانیهای فرعی معمول فسفاته که مرکز دهنده عناصر REE هستند، عبارتند از $\text{Ca}_{10}(\text{PO}_4)_6\text{F}_4$ که مهمترین کانی فسفاته (Ce, LREE) PO_4 و زنوتیوم Y , HREE) PO_4 که به میزان کمتری می‌تواند عناصر نادر خاکی را در خود متمرکز سازد. علاوه بر کانیهای

مجموع این گنبدها تحت عنوان سری هرمز معرفی می‌شود (شکل 1 ب) واحدهای سری هرمز از پایین به بالا به ترتیب عبارتند از [11]:

واحد هرمز 1 یا واحد نمکی سازند هرمز: قاعده این واحد معلوم نیست و در هیچ‌جا به طور کامل ظاهر نشده است. طبقات و لایه‌های نمکی بیشتر حجم این واحد را تشکیل می‌دهند که با میان لایه‌های نازکی از توف، مارن، آهکهای تیغه‌ای، اکسیدها و سولفورهای آهن (پیریت) همراه است.

واحد هرمز 2: این واحد با رنگ قرمزی که در رسوبات زیرین آن غلبه دارد از فواصل دور قابل تشخیص و رنگ قرمز آن نشانه پیدایش خاک سرخ در این واحد است. واحد هرمز 2 تنابوی است از مارن‌های سفید تا زرد کمرنگ، اندیزه‌یت (که غالباً به ژپس تبدیل شده است)، توف، ایگنمنیریت، آهکهای نازک لایه سیاه‌رنگ و سنگ آهن که به صورت نوارهای نازک می‌لایه آهن‌دار، اکسیدهای بی‌آب و آب‌دار آهن می‌باشد.

واحد هرمز 3 یا واحد آهکهای سیاه‌رنگ جلبکی: این واحد در همه‌جا از ویژگی ثابتی برخوردار است و از طبقات نازک‌لایه آهکی سیاه‌رنگی تشکیل می‌شود که عموماً سرشار از فسیل جلبکهای گوناگون است. ضخامت این واحد گاهی تا حدود 50 متر می‌رسد.

واحد هرمز 4 یا واحد آواری - ولکانیکی: این واحد در هر گنبد نمکی دارای لیتولوژی خاص همان گنبد است و معمولاً در جاهایی ظاهر می‌شود که واحد نمکی یا ظاهر نشده و یا اندکی از آن رخنمون دارد. بیشتر حجم این واحد را ماسه سنگهای قرمز خاکستری و سبزرنگی تشکیل می‌دهند که دارای موج نقشه‌ای چشمگیر هستند. این طبقات با میان لایه‌هایی از توفیت‌های سبز رنگ تناوب دارند.

سنگهای ماقمایی سازند هرمز: این سنگها به دو گونه مشخص دیده می‌شود: یا به صورت سنگهای خروجی توف و گذازه در تناوب با سنگهای رسوبی سازند هرمز و یا به صورت سنگهای نفوذی که سن آنها از واحد h4 جوانتر است. دسته اول بیشتر اسیدی تا متوسط از نوع ریولیت داسیت و احیاناً تراکیت هستند که گرایش قلیایی دارند. دسته دوم را بیشتر دیاباز و گرانوفیر تشکیل می‌دهند که پی‌درپی سازند هرمز را قطع کرده‌اند. دیاباز به صورت دایک بوده و دارای امتداد شرقی- غربی به طول تقریبی 2 کیلومتر می‌باشد که در بخش‌هایی توسط گسلهای راست‌گرد به طول 10 تا 15 متر به صورت

می‌شود [5]. گرانیت‌ها بیشترین تهی‌شدگی از عناصر نادر خاکی سنگین نشان می‌دهند که می‌تواند به علت غنی‌شدگی نسبی این عناصر در برخی از مواد همراه باشد [3]. آپاتیت مقادیر بالایی از عناصر U, Th, Sr و REE سنگ کل را در خود جمع می‌کند [6 و 7] و بنابراین یک ثبت‌کننده حساس شیمی عناصر فرعی در زمان تبلور است [8, 9 و 10]. غلظت عناصر فرعی در آپاتیت‌ها با پارامترهای سنگ کل از قبیل میزان SiO_2 و مقدار کل آلکالی‌ها و میزان اشباع‌شدگی از آلومینیوم (اندیس ASI) مستگی دارد [5]. بنابراین مشخصات ژئوشیمیایی ثبت‌شده در آپاتیت از تیپ‌های سنگی خاص و سیستم‌های کانی‌زایی شده، سبب می‌شود که آپاتیت به عنوان کانی نشانگر در اکتشاف کانی‌ایی مورد استفاده واقع شود.

جزیره هرمز در فاصله هشت کیلومتری جنوب بندرعباس واقع شده است (شکل 1 الف). آپاتیتها تنها در بخش جنوب و جنوب غربی این جزیره در درون درز و شکافهای توده گرانوفیری به صورت رگه‌ای و در امتداد آبراهه‌ها به صورت پلاسربی یافت می‌شوند.

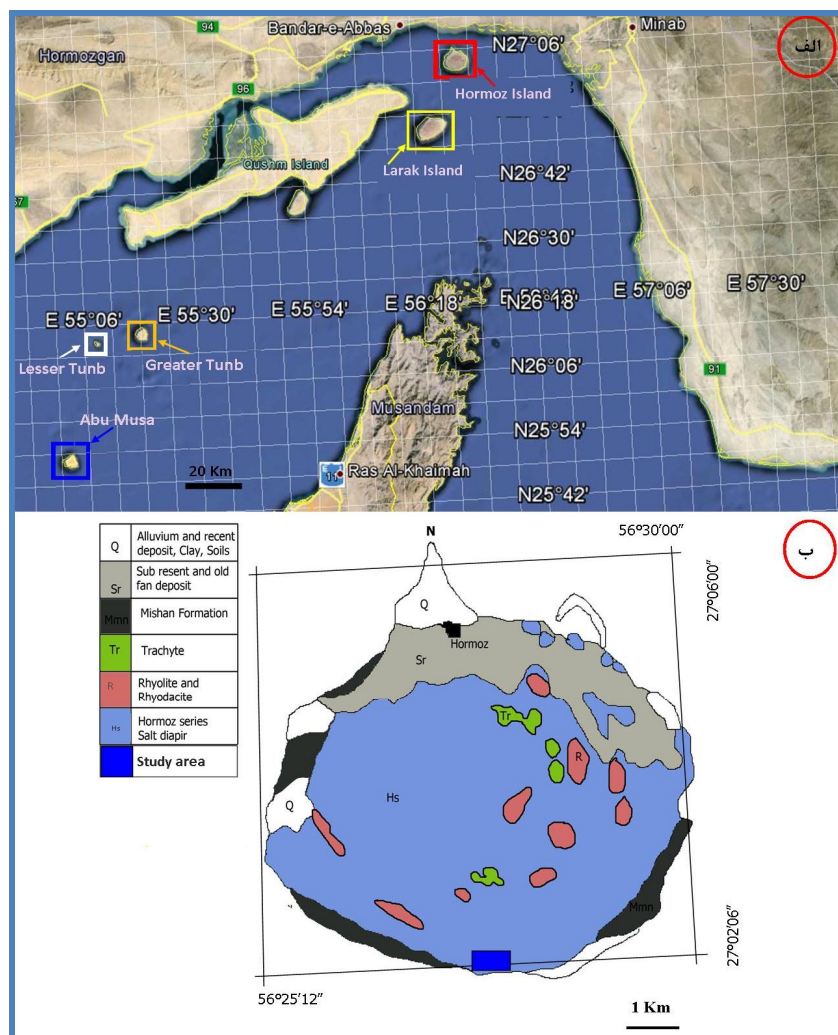
این منطقه بین طولهای شرقی "16° 27' 02" تا "27° 02' 27" و عرضهای شمالی "26° 56' 28/8" تا "56° 27' 27/6" و در ارتفاع 50 متری از سطح دریا واقع شده است.

آپاتیت‌های این جزیره علی‌رغم وفور و درشتی و به عنوان نمونه‌های زیبا و رایج در موزه‌های زمین‌شناسی و تاریخ طبیعی کشور، کمتر مورد مطالعه قرار گرفته‌اند. در این نوشتار به این کانیهای مشهور ولی از نظر کانی‌شناسی و ژئوشیمی کمتر شناخته‌شده پرداخته می‌شود. هدف از مطالعه، بررسی شیمیایی این کانیها، تعیین مقادیر عناصر نادر در آنها به عنوان منبع احتمالی این عناصر و همچنین ارائه داده‌های بیشتر برای تعیین سنگ در برگیرنده آنها که به شدت هوازده‌شده و با روش‌های معمول پترولوژی قابل بررسی نمی‌باشد، بوده است.

زمین‌شناسی

زمین‌شناسی عمومی منطقه مورد مطالعه پراکندگی گنبدی‌های نمکی در جنوب ایران یکنواخت نیست و در دو گستره قرار دارند. یکی بندرعباس - سروستان که 101 گنبد و دیاپیر را شامل می‌شود و دیگری گستره جنوب کازرون که تنها 14 گنبد و دیاپیر را در خود جای داده است.

افقی جابه‌جا شده است (شکل 2).



شکل 1. موقعیت منطقه جزیره هرمز (الف) تصویر ماهواره‌ای تنگه و جزیره هرمز، (ب) نقشه زمین‌شناسی هرمز (برگرفته از [12])

دایک‌ها به صورت سیستماتیک و با شبکه مستطیلی با طول 10 و عرض 4 متر، در رسوبات آهن‌دار به‌علت پراکندگی نسبتاً یکسان به صورت شبکه مربع و با فواصل یکسان 5 متر و در طول آبراهه‌ها به صورت غیرسیستماتیک انجام پذیرفت. ابتدا 30 نمونه از آپاتیت‌های منطقه نمونه‌برداری و توسط میکروسکوپ بیناکولار بررسی و پاک‌سازی (شکل 3) و کانیهای همزیست آن شامل خاک سرخ و الیثیست از آن جدا شدند (شکل 4). سپس 10 نمونه از آنها انتخاب و جهت تجزیه عناصر اصلی به روش فلورسانس اشعه ایکس (XRF) به آزمایشگاه کارخانه سیمان بندرخمیر و برای تجزیه ICP-MS به آزمایشگاه LABWEST کشور استرالیا فرستاده شد. پنج

گرانوفیر غالباً از نوع کوارتز پورفیری است که گاه بافت درشت‌تری پیدا کرده و به توده گرانیتوئیدی تبدیل می‌گردد [13]. در محدوده مورد مطالعه آپاتیت‌ها به صورت رگه‌ای در درون درز و شکافهای گرانوفیرها دیده می‌شود.

اندازه‌گیری سنی که بر روی گرانوفیرهای جزیره هرمز انجام شده است، سن 227 ± 3 میلیون سال را نشان می‌دهد [14] که همان اوخر پرمین - اوایل تریاس است.

روش مطالعه

نمونه‌برداری از محلهایی صورت پذیرفت که حجم کانی‌سازی آپاتیت در آن جا بیشتر بوده است. نمونه‌برداری در امتداد

تا 10 سانتی‌متری (شکل 5) به صورت نیمه شکل دار تا شکل دار (هگزاگونال) می‌باشدند (شکل 6). معمولاً آپاتیت‌ها به رنگ‌های سبزروشن، سبز متمایل به زرد، سبز خاکستری و قهوه‌ای مشاهده می‌شوند.

نمونه نیز جهت انجام تجزیه XRD برای مشخص کردن کالنیهای همزیست آپاتیت، به آزمایشگاه شرکت زرآزما پرسین ارسال شد.

نمونه‌های آپاتیت هرمز از اندازه‌های ریز (در حد میلی‌متری)



شکل 2. دایک دیابازی با امتداد شرقی - غربی (دید به سمت غرب)



شکل 3. مراحل مختلف پاکسازی نمونه

Fe₃950 ppm، میزان Al بین 1810 تا 10>ppm بین 4220-4660 ppm و فراوانی Na بین 75-1350 ppm می‌باشد. محتوای Mg آپاتیت‌ها محدوده‌ای از 10 تا 700 است. کمترین میزان آن در آپاتیت‌های گرانیت‌وئیدها و پگماتیت‌های گرانیتی وجود دارد. در حالی که کانسراهای آهن بیشترین میزان Mg را دارا هستند [5] فراوانی این عنصر در آپاتیت‌ها معمولاً به میزان کمتر از 0/2 درصد [10] و در آپاتیت‌های هرمز به مقدار 294 ppm- 259 حضور دارد. میزان بالای عناصر Zn, Cu, Ni, V, As مربوط به ذخایر

ژئوشیمی

بررسی فراوانی عناصر اصلی و فرعی آپاتیت‌های هرمز میزان CaO در اکثر آپاتیت‌های جهان بین 54%-57% است [5]. در آپاتیت‌های هرمز فراوانی Ca بین 23/9% تا 29/5% می‌باشد. مقدار اکسید Na₂O در بیشتر آپاتیت‌ها کم و در محدوده 0/01-0/3% متغیر است اما در آپاتیت‌های هرمز این اکسید دارای گستره 0/02-0/29% می‌باشد. غلظت عناصری مثل Si, Na, Al, K, Fe, Ti در ساختمان آپاتیت‌ها بسیار کم و اغلب زیر حد آشکارسازی است. در آپاتیت‌های هرمز تمرکز K و Ti کمتر از حد آشکارسازی

دلریت کریمن¹ (1-5 ppm) گزارش شده است [5]. در لرزولیت‌ها بالاترین فراوانی اورانیوم (15-280 ppm) وجود دارد [5]. برای آپاتیت‌های هرمز متوسط میزان این عنصر آهنی 2/7 ppm است (جدول 1).

مقدار Th از 1 ppm تا چند صد ppm و با متوسط 106 ppm می‌باشد. Th بسیار بالا مخصوص آپاتیت‌های ذخایر آهنی (200-300 ppm) و لرزولیت‌ها (42-360 ppm) است اما بالاترین میزان آن از آپاتیت‌های کربناتیت کودور² روسیه با میزان 2000 ppm گزارش شده است [5]. غلظت این عنصر در آپاتیت‌های هرمز 0/08-10/3 ppm می‌باشد. مقادیر بسیار پایین U و Th در آپاتیت‌های هرمز می‌تواند در اثر دو عامل باشد (1) ماقمای مادر از این عناصر فقیر بوده است (2) U و Th وارد ساختار کانیهای دیگری می‌شوند که قبل از آپاتیت متبلور شده‌اند. کانیهای همزیست با آپاتیت‌های هرمز کانیهای کوارتز، هماتیت، ارتوکلاز و بیوتیت می‌باشند. در منطقه کوارترهای دودی خودشکل مشاهده می‌شود که احتمال می‌رود رنگ تیره این کانیها حاصل واپاشی عناصر پرتوزا باشد و کانی اصلی تمرکز دهنده اورانیوم و توریوم، این کوارترها باشند. کم بودن میزان این عناصر در آپاتیت‌ها، مؤید این موضوع است.

فراوانی عنصر Pb برای آپاتیت‌های سنگهای مختلف از 1-30 ppm متغیر و با میانگین 13 ppm می‌باشد. در آپاتیت‌های دارای U و Th بالا، میزان این عنصر نیز افزایش می‌یابد. در آپاتیت‌های هرمز میزان متوسط سرب حدود 6 ppm است.

بررسی فراوانی عناصر نادر خاکی آپاتیت‌های هرمز عناصر REE می‌توانند جای گزین Ca در آپاتیت شوند [7] و 16 [17]. در این جانشینی REE و Na⁺ به جای Ca²⁺ و Si⁴⁺ به جای P⁵⁺ جای گزین می‌شوند تا بارها موازنی شوند [17]. مجموع REE بیشتر آپاتیت‌ها معمولاً 0/1-1/7 وزنی (0.1-1.7wt%) می‌باشد [5].

مجموع عناصر REE با افزایش میزان SiO₂ و پیشرفت تبلور افزایش می‌یابند. این عناصر همچنین با افزایش میزان K و تفریق ماقمایی زیاد می‌شوند. در واقع هر چه میزان مجموع REE بیشتر شود نشانه جدایش بیشتر مواد فرار و فلزات

آهنی هستند [5]. فراوانی این عناصر در آپاتیت‌های هرمز به ترتیب برابر 229-279، 3، 16، 1/7-0/8 و 1/2 ppm می‌باشد.

تغییرات مقادیر Mn در آپاتیت‌ها بسیار وسیع و در لرزولیت‌ها کمتر از حد آشکارسازی و در گرانیت‌های پگماتیت گرانیتها تا چند درصد گزارش شده است [5]. میزان تغییرات این عنصر در آپاتیت‌های هرمز 83-99 ppm است (جدول 1). فراوانی عنصر V معمولاً کمتر از 10 ppm است، بیشترین میزان (40-50 ppm) آن در آپاتیت‌های کمتر تفریق یافته و کانسارهای آهن وجود دارد. میانگین غلظت این عنصر در آپاتیت‌های هرمز 16 ppm است (جدول 1).

عنصر Sr طی گسترهای دارد از 50 ppm تا چند هزار ppm و در آپاتیت‌های زنولیت‌های لرزولیتی گوشته بالاترین میزان Sr گزارش شده که به درصد نیز می‌رسد [15]. در سنگهای بسیار تفریق یافته گرانیت‌های و گرانیت پگماتیت کمترین میزان Sr (100ppm) وجود دارد [5]. میزان این عنصر در آپاتیت‌های هرمز 289-375 ppm می‌باشد (جدول 1).

با افزایش تفریق ماقمایی، میزان Rb نیز بالاتر می‌رود در آپاتیت‌های سنگهای مختلف مقدار آن بسیار پایین و تنها کمی بالاتر از حد آشکارسازی دستگاه (0/1 ppm) است، میانگین این عنصر در آپاتیت‌های هرمز 0/5 ppm می‌باشد. فراوانی عنصر زیرکونیوم (Zr) نیز در سنگهای مختلف بسیار جزئی (0/2-5 ppm) و در آپاتیت‌های هرمز به میزان کمتر از حد آشکارسازی (<1ppm) وجود دارد (جدول 1).

مقدار عنصر Y از چند ده ppm تا یک درصد با میانگین (1500 ppm) متغیر است، بیشترین میزان Y در آپاتیت‌های پگماتیت‌ها و کمترین میزان آن در لرزولیت‌ها و کربناتیتها وجود دارد [5]. در واقع رابطه مستقیمی بین فراوانی عنصر Y و درجه تفریق ماقمایی وجود دارد [5]. در آپاتیت‌های هرمز میزان آن 1300-4960 ppm (جدول 1) است که با انواع تفریق یافته همخوانی دارد.

میزان U برای سنگهای مختلف بین 5-40 ppm تغییر می‌کند و متوسط آن 29 ppm می‌باشد. کمترین میزان اورانیوم از

1 - Crimean dolerite

2 - Kovdor

آپاتیت‌های هرمز $1/22\text{-}2/25\%$ می‌باشد.

و عناصر ناسازگار از ماگماست [18]. مجموع REE در



شکل 4. نمونه‌های همزیست با آپاتیت شامل خاک سرخ و الیزیست



شکل 5. بزرگترین نمونه آپاتیت یافت شده در منطقه با ارزش گوهری



شکل 6. انواع مختلف آپاتیت موجود در منطقه با سیستم تبلور هگزاگونال

جدول 1. نتایج تجزیه ICP-MS عناصر فرعی در آپاتیت‌های هرمز (برحسب ppm)

sample	X1	X2	X3	X4	X5	X6	X7	X8	X9	X10
Rb	0/7	0/4	0/5	0/7	0/6	0/6	0/6	0/5	0/4	0/6
Pb	8/3	7/7	7/7	7/7	0/2	7/9	8/1	7/8	8	7/7
Sr	334	290	318	375	307	308	316	304	289	339
La	4550	3660	4430	4940	4040	4560	4670	3830	2710	4940
Ce	8400	6620	8130	9000	7330	8290	8380	6830	4760	8950
Pr	964	781	945	1030	848	940	948	790	579	1020
Nd	3790	3080	3710	4040	3270	3690	3710	3120	2360	3970
Sm	691	550	673	730	584	667	655	545	385	709
Eu	60/8	48	59/1	64/9	51/3	58/8	57/4	47/3	36/2	62/2
Gd	865	663	828	898	717	834	791	658	503	850
Tb	126	94/5	120	130	102	119	114	92/9	65/4	123
Dy	674	495	643	692	542	633	592	489	360	650
Y	4460	2540	3880	4960	3180	3830	3430	2440	1300	4130
Ho	158	115	152	162	128	148	136	116	84/4	152
Er	418	301	402	429	335	391	358	305	217	403
Tm	46/3	32/4	44/9	48/5	37/1	43/1	39/6	33/4	22/8	45/6
U	2/78	2/72	2/75	2/86	2/72	2/69	2/72	2/71	2/75	2/68
Yb	316	198	304	325	240	287	252	204	133	307
Lu	31/8	21/6	31/9	33/1	25	29/2	26/3	22/1	13/9	31/2
Mn	99	84	84	87	86	84	86	83	83	83
Fe	1350	724	894	658	711	671	642	625	579	700
Zr	1>	1>	1>	1>	1>	1>	1>	1>	1>	1>
V	17	16	16	17	16	16	16	16	16	16
As	233	229	234	278	252	254	271	272	270	279

بحث

با ترسیم الگوی بهنجار شده عناصر REE آپاتیت‌های هرمز نسبت به کندریت‌ها (شکل 7) مشخص می‌شود که شب این الگوها منفی و نشانگر غنی‌شدگی بیشتر LREE نسبت به HREE است. میزان (Ce/Yb)cn آپاتیت‌های معمول دنیا برابر 18 است [5]. آپاتیت‌های لرزولیتی و کربناتیتی دارای (Ce/Yb)cn هستند و میزان REE برای لرزولیت‌ها برابر 57-273 و برای کربناتیت‌ها برابر 240-240-70 می‌باشد. این نسبت برای آپاتیت‌های گرانیتوئیدی برابر 9/6 و برای آپاتیت‌های دلربیتی برابر 5/4 است. برای پگماتیت‌های گرانیتی نسبت (Ce/Yb)cn کمتر از 1 می‌باشد LREE که نشان‌دهنده غنی‌شدگی از HREE و تهی‌شدگی از

در این سنگ‌هاست [5]. میزان (Ce/Yb)cn آپاتیت‌های هرمز 30 است که نشان می‌دهد در این منطقه تفریق بهشت پگماتیت‌ها رخ نداده است. چون میزان عناصر کمیابی مثل REE و Sr, Mn, As, Th در آپاتیت‌های سنگ‌های مختلف متفاوت است می‌توان از این عناصر جهت تشخیص انواع سنگ‌ها استفاده کرد. شکل الگوی بهنجار شده نسبت به کندریت و میزان غنی‌شدگی از LREE نیز می‌تواند کمک زیادی به شناسایی سنگ‌های مختلف کند.

همان‌طور که ذکر شد SiO_2 سنگ کل بهشت در غلظت عناصر کمیاب تأثیرگذار است و میزان عناصر نادر خاکی با پیشرفت تفریق ماقمایی و افزایش میزان SiO_2 افزایش

لرزولیتی و بعضی گرانیتوئیدها آنومالی مثبت ضعیف Eu دارند. با افزایش درجه تفریق در سنگها، دامنه آنومالی منفی Eu افزایش می‌یابد که می‌تواند به دلیل تبلور فلدسپارها باشد که Eu را از مذاب جدا کرده و در خود متمرکز می‌سازند [19]. نسبت Eu/Eu^* در آپاتیت‌های هرمز برابر ۰/۰۸ می‌باشد که نشانگر درجه تفریق بالاست.

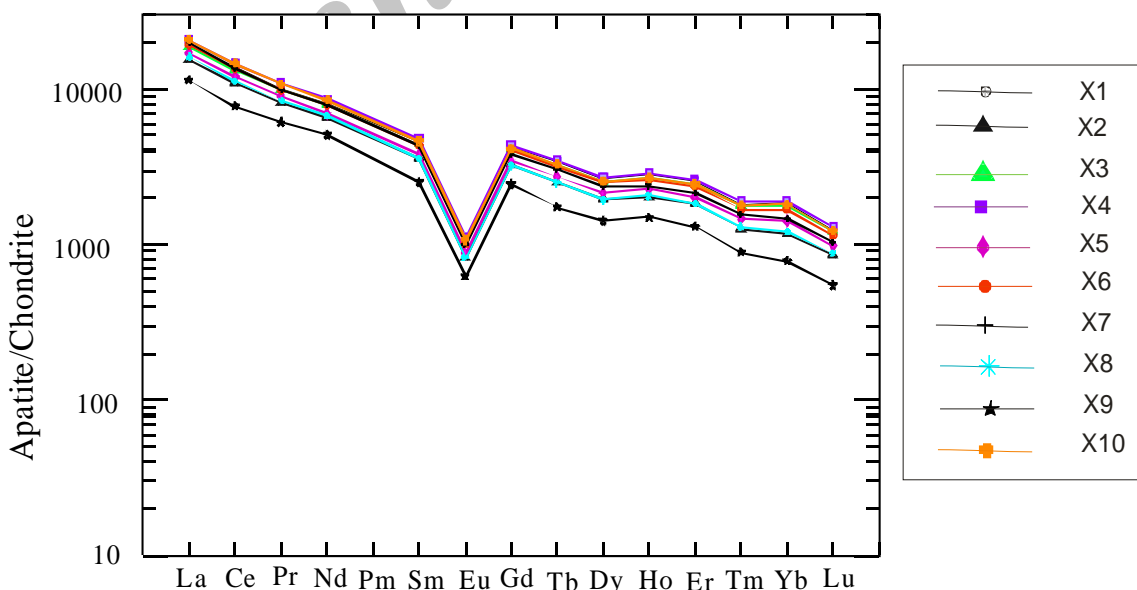
عناصر Th و LREE در سنگهای کمتر تفریق یافته متمرکز شده و برحی از کانیها مثل مونازیت عناصر LREE و Th را از مذابهای بسیار تفریق یافته جدا کرده و در خود متمرکز می‌سازند از این رو آپاتیت‌های سنگهای بسیار تفریق یافته تهی شدگی شدیدی در این عناصر نشان می‌دهند. دلیل بالا بودن LREE در آپاتیت‌های سنگهای تفریق یافته هرمز، عدم تبلور مونازیت در منطقه است.

برای تشکیل مونازیت باید بخشی از آپاتیت در سیال حل شود تا فضای لازم جهت هسته‌بندی و رشد مونازیت ایجاد گردد و همچنین سیال باید قابلیت انتقال P, Ca و ایجاد تعادل جرمی را داشته و درجه حرارت باید از 850°C بیشتر باشد. تبلور مونازیت با تهی شدگی $\text{HREE}+\text{Na}+\text{Si}+\text{Y}$ از آپاتیت و شست‌وشوی¹ آپاتیت همراه می‌باشد. وجود NaCl در سیال باعث پایداری Na و LREE در آپاتیت و تأخیر در تبلور مونازیت می‌شود.

Sr آپاتیت‌ها به شبکه پلاژیوکلازها غلظت Y, HREE در سنگهای تفریق یافته‌تر بیشتر است چون به صورت عناصر ناسازگار عمل می‌کنند. در واقع با افزایش Mn درجه تفریق سنگ میزبان، غنی‌شدگی در Y, HREE و Eu/Eu^* در Sr دیده می‌شود. بنابراین افزایشی در محتوای Mn و Y آپاتیت‌های کربناتیت‌ها و لرزولیت‌های مشتق شده گوشه حدود ۱۰۰ ppm و در آپاتیت‌های به شدت تفریق یافته گرانیتوئیدها و پگماتیت‌ها تا تقریباً ۱% است [5].

آپاتیت‌های هرمز بی‌هنجری منفی Ce مشخصی نشان نمی‌دهند اما ذخایر آهنی آنومالی منفی Ce نشان می‌دهند ($\text{Ce}/\text{Ce}^*=0.68-0.74$). آپاتیت‌های سنگهای گرانیتی Ce/Ce^{*}=1.3-1.5) دارند.

در آپاتیت‌های هرمز آنومالی مثبت Ce وجود دارد و نسبت Ce/Ce^* برابر ۳ می‌باشد. در مقابل آنومالی مثبت Ce آنومالی منفی قوی Eu در آپاتیت‌ها (با میانگین $\text{Eu}/\text{Eu}^*=0.41$ متداول است. آپاتیت‌های کربناتیت‌ها آنومالی منفی ضعیف Eu (با نسبت $\text{Eu}/\text{Eu}^*=0.7-0.9$)، آپاتیت‌های پگماتیت‌ها آنومالی منفی (با نسبت $\text{Eu}/\text{Eu}^*=0.04$ -۰.۲۵)، گرانیتوئیدها نسبت $\text{Eu}/\text{Eu}^*=0.4$ و آپاتیت‌های



شکل ۷. موقعیت نمونه‌های منطقه جزیره هرمز در نمودار عنکبوتی REE آپاتیت‌های هرمز که نسبت به کندریت‌ها به هنجر شده‌اند. میزان LREE نسبت به HREE این آپاتیت‌ها بالا بوده و بی‌هنجری منفی قابل توجهی در عنصر Eu وجود دارد.

تفريق یافته و پگماتيت‌هاست [5] (شکل 8 ب). میزان بالاي نسبت LREE/HREE در آپاتيت‌های هرمز نشان‌دهنده غنى‌شدگي LREE و تفريقي شدگي در حد گرانيت‌وئيد است. در نمودار Y در برابر Eu/Eu* دو محدوده برای آپاتيت‌های گرانيتی و پگماتيتی وجود دارد (شکل 8 ب) و اين مى‌تواند نشان‌دهنده نسبت Kfs/Pl در سنگ‌های ميزبان باشد. هر دو نوع فلدسپار، مقادير زيادي Eu را در خود جاي مى‌دهند اما چون Eu جانشين Sr و Ca مى‌شود تمایيل پلازيوكلازها بيشتر از پتابسيم فلدسپارها است. نمونه‌های هرمز در محدوده (Eu/Eu*)=0.08 Eu/Eu* پايان (شکل 8). نسبت قرار گرفته‌اند. بنابراین از تمام نمودارهای 9 مشخص مى‌شود آپاتيت‌های هرمز به گرانيت‌وئيدها تعلق دارند.

تعين حالت اكسيداسيون ماگما

عناصر زيادي از جمله Mn, Ce, Eu با ظرفيت‌های متفاوت وارد ساختمان آپاتيت مى‌شوند. آنومالي Eu بهشت توسيط تبلور جدایشي فلدسپار کنترل مى‌شود. آنومالي قابل ملاحظه مثبت يا منفي Ce در آپاتيت‌ها نادر است [5].

ميزان Mn در آپاتيت‌های ماگماهای احیایی بيشتر است و طی پيشرفت تفريقي ميزان اين عنصر نيز به صورت خطی افزایش پیدا می‌کند. بين ميزان Mn در آپاتيت‌ها و نسبت Fe₂O₃/FeO در ماگماهای ميزبان، همبستگي منفي واضح وجود دارد. ميزان Mn در آپاتيت‌های هرمز نشان‌دهنده ميزان تفريقي ماگمايي متوسط است. از روی ترکيب شيميايي آپاتيت مى‌توان نسبت Fe₂O₃/FeO را به كمك نمودارهای مختلف تخمين زد. در تمام نمودارها (شکل 9) آپاتيت‌های هرمز به گروه 2 تعلق دارند که نشان‌دهنده ميزان بالاي نسبت Fe₂O₃/FeO مى‌باشد.

بين REE و درجه اكسيداسيون ماگما رابطه مناسبی وجود دارد. آپاتيت‌های سنگ‌های اكسيده‌تر نسبت Y/REE و همچنین ميزان Ce/Th پايانی دارند. اين نتایج بدون لاحظ کردن درجه تفريقي سنگ مشخص مى‌شود. از آنجا که آپاتيت‌های هرمز پايان اين نسبتها را دارا هستند مى‌توان نتيجه گرفت که آنها از ماگمايي اكسيده به وجود آمده اند (شکل 9). البته ساير فازهای فرعی مانند آلانیت در گرفتن HREE و Fe³⁺ نيز مؤثر هستند و مطالعه ترکيب ساير فازها در ارتباط با آپاتيت برای تشخيص اين مطلب مفيد است.

دو شرط اساسی برای تبلور مونازیت در آپاتيت وجود دارد
1- مجموع Y+REE باید زيادي باشد ($>0.2\text{--}0.3 \text{ wt\%}$)
2- ترکيب سیال اجزاهه واکنشها را بدهد. در هرمز کانی مونازیت مشاهده نمی‌گردد که نشان مى‌دهد اين شرایط در منطقه وجود نداشته است.

نمودارهای متمایز‌کننده

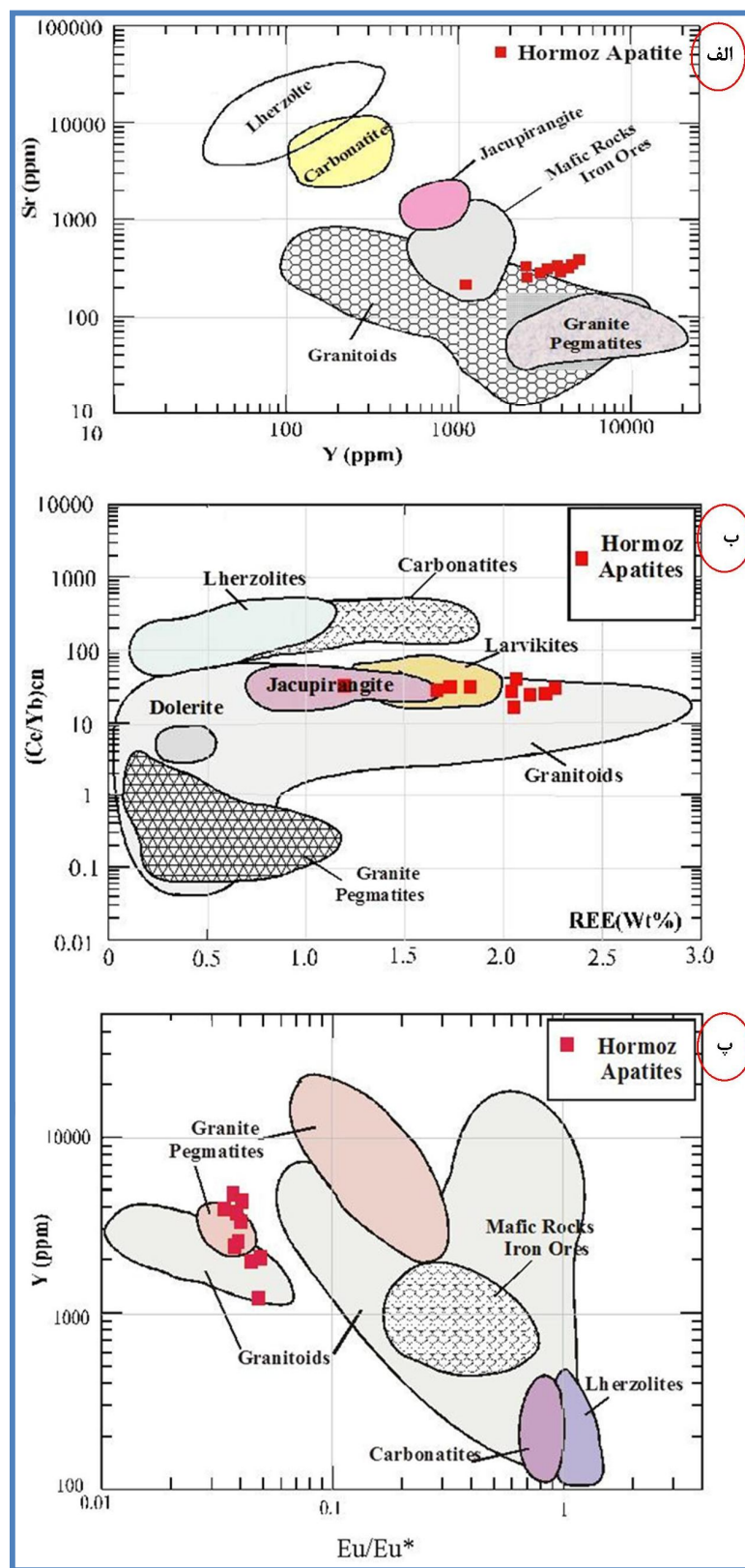
براساس نمودارهای Sr در مقابل Y و Mn و همچنین نمودار Eu/Eu* (Ce/Yb)cn در مقابل REE و نمودار Y در مقابل * (Ce/Yb)cn می‌توان محدوده‌های ترکيبی مشخصی از آپاتيت‌ها را برای گروههای مختلف سنگی مشخص کرد [5] (شکل 8). نسبت در برابر Y شامل محدوده گسترده‌ای است که همبستگی منفي شدیدی دارند چرا که با افزایش درجه تفريقي ماگمايي ميزان Sr کاهش اما ميزان Y افزایش مى‌يابد (شکل 8 الف). ميزان Sr در آپاتيت‌های هرمز نسبتاً بالاست که مى‌تواند به علت عدم تبلور پلازيوكلاز در مراحل ابتدائي تفريقي باشد. اين امر باعث شده است تا استرانسيم که در ساختمان پلازيوكلاز جمع مى‌شود در ماگما باقی مانده و هنگام تبلور آپاتيت در ساختمان اين کانی نيز وارد شود.

نمودار (Ce/Yb)cn در مقابل Σ REE برای جداسازی آپاتيت‌ها از انواع مختلف سنگی مناسب است. ميزان (Ce/Yb)cn و شب الگوي REE از سنگ‌های مافيك/الترامافيك (مثل كربناتيت) تا سنگ‌های مافيك، حدواسط، گرانيت‌وئيدها و سنگ‌های بهشت تفريقي یافته مثل پگماتيت‌ها کاهش مى‌يابد. اين همسوبي با ميزان Σ REE ارتباط واضح و مشخصی ندارد چون غنى‌شدگي از LREE مشخصه آپاتيت پريديوتيت‌های مشتق شده از گوشته و كربناتيت‌ها و تهي شدگي HREE مشخصه آپاتيت‌های

تفريقي یافته گرانيت‌وئيدها و پگماتيت‌های گرانيتی است [5].

در نمودار (Ce/Yb)cn در مقابل Σ REE (شکل 8 ب) مشاهده مى‌شود نسبت (Ce/Yb)cn در آپاتيت‌های هرمز بالاتر از اين نسبت در گرانيت‌ها و بهخصوص پگماتيت‌هاست و بيان مى‌کند که تفريقي ماگمايي در هرمز بهشت گرانيت‌های عمومي و پگماتيت‌ها رخ نداده است.

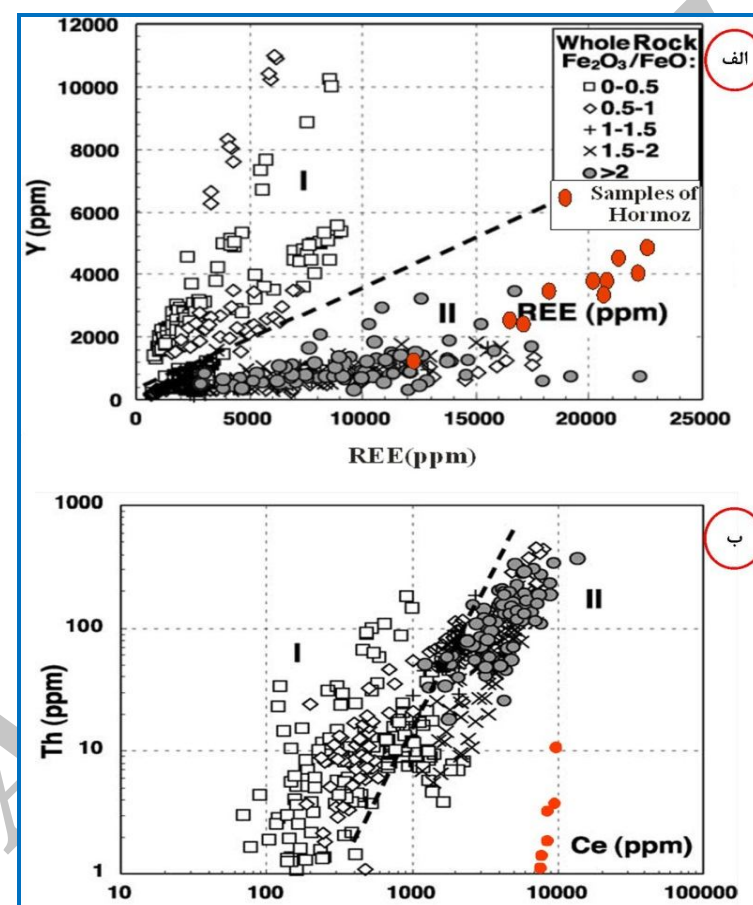
ميزان بالاي HREE و نسبت پايان LREE/HREE در سنگ‌های تفريقي یافته بازتاب‌کننده ميزان بالاي Y است. كمترین ميزان Y در آپاتيت‌های پريديوتيت‌های مشتق شده از گوشته و كربناتيت‌ها و بالاترين ميزان آن در سنگ‌های گرانيتی



شکل 8. استفاده از عناصر فرعی آپاتیت‌ها جهت تشخیص انواع مختلف سنگها از یکدیگر
 (الف) نمودار Sr/Y [5] (ب) نمودار Ce/Yb در مقابل مجموع REE (پ) نمودار Y در برابر Eu/Eu^*

شیمیایی کل سیستم از مؤلفه‌هایی هستند که ترکیب شیمیایی کانی را در یک سیستم ماقمایی تعیین می‌کنند. در واقع ترکیب شیمیایی کانی می‌تواند انعکاس‌دهنده اطلاعات مهمی از شدت تأثیر این شرایط باشد. چون آپاتیت در هر دو نوع گرانیت I و S وجود دارد و مقادیر معنابهی از عناصر کمیاب و فرعی دارد، می‌توان برای تعیین پتروژنز گرانیت‌ها از آن استفاده کرد. گرانیت‌وئیدهای نوع I فلزیک و S از نظر میزان عناصر اصلی، فرعی و کمیاب مشابه هم هستند.

تعیین نوع گرانیت‌وئیدهای هرمز
سنگ منشأ و فرآیندهای گوناگون ماقمایی، تأثیر بسیار زیادی بر ترکیب ماقمای گرانیتی می‌گذارد [20]. گرانیت‌های S و I از دو منبع آذرین و رسوبی به وجود آمده‌اند. این دو نوع گرانیت تفاوت‌های مشخص شیمیایی، کانیایی و پترولوجیکی دارند که ناشی از تفاوت اساسی در ترکیب شیمیایی منشأ و به میزان کمتر شرایط فیزیکی شیمیایی می‌باشد. به‌طور کلی حرارت، فشار، فوگاسیته اکسیژن، اکتیویته و ترکیب فازهای همزیست (مذاب، بخار، سیال و سایر کانیها) و ترکیب



شکل 9. تقسیم‌بندی آپاتیت‌ها طبق میزان $\text{Fe}_2\text{O}_3/\text{FeO} < 1$ (گروه I) و $\text{Fe}_2\text{O}_3/\text{FeO} > 1$ (گروه II) در مقابل مجموع REE و ب) در مقابل Ce. آپاتیت‌های هرمز در گروه 2 قرار می‌گیرند.

زیاد شدن Rb به ترتیب در سنگ منشأ نوع S و مذاب باقی‌مانده شوند [20] آنومالی منفی Eu نیز مؤید تفریق کم پلازیوکلازهاست.

در گرانیت‌وئیدهای نوع S نسبت Ce/Nd و Ce/Dy کمتر از نوع I است. میزان این نسبتها در آپاتیت‌های هرمز بالا بوده و ترکیب گرانیت‌وئیدهای هرمز به نوع I مافیک نزدیک

فراوانی عنصر Sr در گرانیت‌وئیدهای نوع I بین 400 ppm و 110 ppm در گرانیت‌وئیدهای نوع S کمتر از 150 ppm می‌باشد. در آپاتیت‌های هرمز میزان این عنصر 370 ppm می‌باشد. در ترکیب نوع I نزدیکتر است و عدم تبلور قابل ملاحظه پلازیوکلاز می‌تواند دلیل فزونی Sr در آپاتیت باشد. هوازدگی و تبلور تفریقی می‌توانند باعث کم شدن Sr و

محدب رو به بالا همراه با تهی شدگی بیشتر از Eu و با آنومالی منفی Nd است. نمودار عنکبوتی آپاتیت‌های هرمز مشابه گرانیتوئیدهای نوع I هستند (شکل 2).

نتیجه‌گیری

1- کانی آپاتیت تنها کانی فسفاته در منطقه است که عناصر نادر خاکی را در خود متمرکز ساخته است.

2- بی‌هنجری عنصر Eu به ویژه در مذاب حدواسط- فلزیک توسط دو عامل فوگاسیته اکسیژن در ماغما و تبلور فلدسپارها کنترل می‌گردد. چنانچه فوگاسیته اکسیژن کم باشد اروپیوم به صورت دو ظرفیتی وارد ساختمان پلاژیوکلاز می‌شود. در حالی که در فوگاسیته بالای اکسیژن این عنصر اکسید شده و به شکل اروپیوم سه ظرفیتی در می‌آید که نمی‌تواند وارد ساختمان پلاژیوکلاز و یا کانیهای دیگر مانند آپاتیت شود که این عنصر را با ظرفیت دو بار مثبت در ساختمان خود می‌پذیرند. چنانچه در بالا بیان شد آپاتیت‌های هرمز به گروهی تعلق دارند که نشان‌دهنده میزان بالای نسبت $\text{Fe}_2\text{O}_3/\text{FeO}$ در نتیجه فوگاسیته بالای اکسیژن هستند. این امر موجب شده است تا اروپیوم نتواند به صورت یون دوبار مثبت وارد ساختمان آپاتیت شود و در نتیجه آنومالی منفی نشان می‌دهد.

3- عناصر نادر خاکی در ضمن فرآیندهای ماغماتی چار تفکیک می‌شوند. آپاتیت‌های هرمز دارای غنی شدگی از عناصر نادر خاکی سبک هستند و نسبت LREE/HREE بالایی دارند شیب نمودار به‌هنجر شده نسبت به کندریت در آپاتیت‌های هرمز منفی است.

4- میزان عناصر اصلی و فرعی و عناصر نادر خاکی در آپاتیت‌های هرمز نشان‌دهنده درجه تغیریق ماغماتی متوسط در منطقه است.

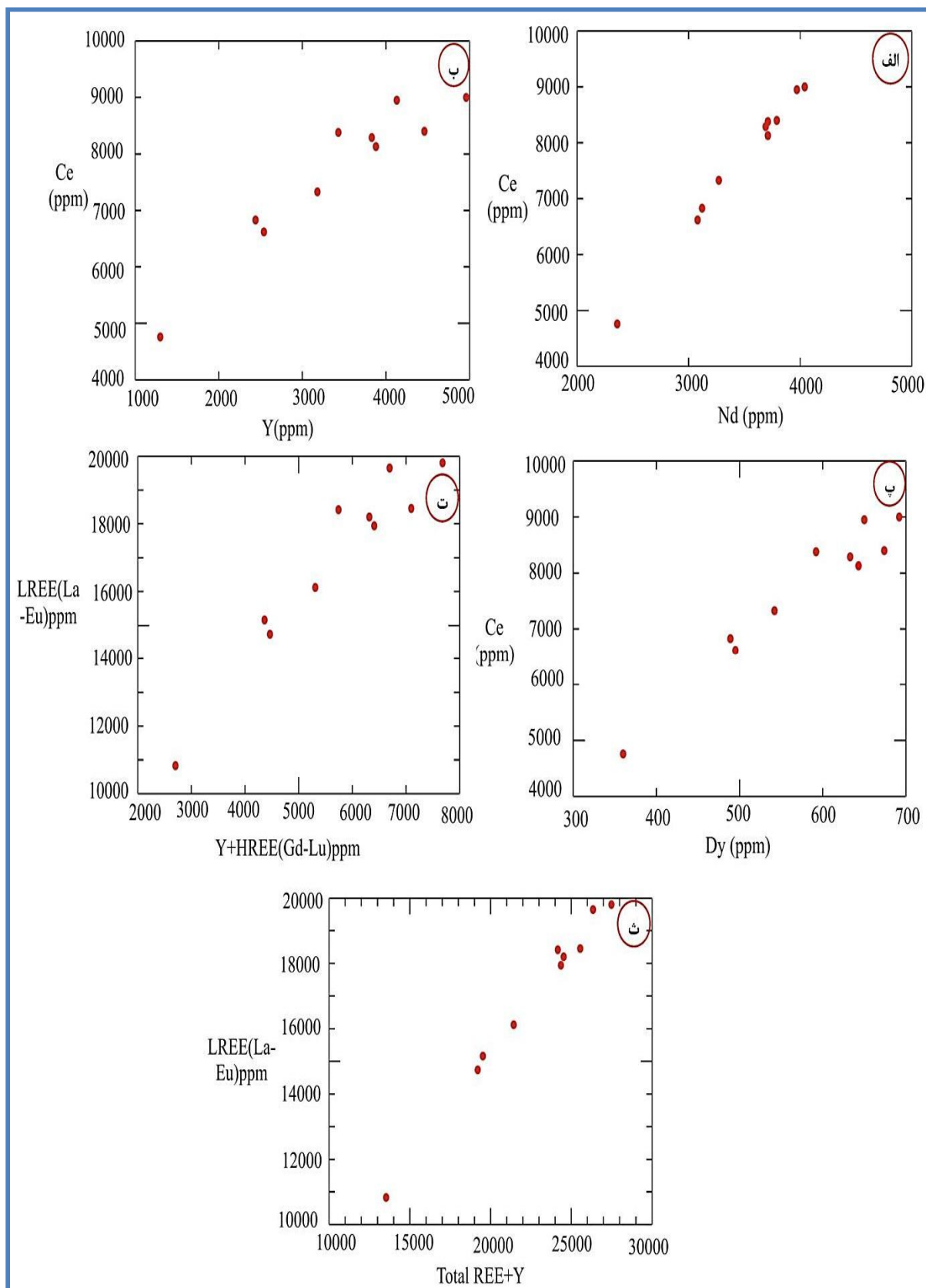
5- مجموع REE در آپاتیت‌های هرمز ۱/۲۵-۲/۲۲ می‌باشد و این نشانه جدایش نسبتاً بالای مواد فرار و فلزات و عناصر ناسازگار از ماغماتی مولد است.

6- مقادیر U و Th در آپاتیت‌های هرمز بسیار پایین است که یا به‌دلیل منشأ گرفتن از ماقمای مادر فقری از این عناصر است و یا U و Th وارد ساختار کانیهای دیگری شده که قبل از آپاتیت متلور شده‌اند. کانیهای همزیست با آپاتیت در هرمز کوارتز، هماتیت، ارتوکلاز و بیوتیت می‌باشند ولی احتمال

می‌باشد (شکل 10 الف، ب و پ). گرانیتوئیدهای نوع I دارای نسبت LREE/HREE بیشتر از (1/9-7/9) > 1.9 و گرانیتوئیدهای نوع S کمتر از 1/9 هستند در آپاتیت‌های هرمز این نسبت 7/4 است که با نوع I همپوشانی دارند (شکل 10 ت و ث).

آپاتیت‌های موجود در گرانیتوئیدهای نوع I نسبت به نوع S از LREE غنی‌تر هستند که دلیل آن ارتباطی به تفاوت سنگ کل ندارد بلکه علت، توزیع این عناصر بین فازهای مختلف REE دار است. بزرگترین میزانهای REE در گرانیتوئیدهای نوع I آپاتیت، تیتانیت، زیرکن و آلاتیت و برای نوع S زیرکن، آپاتیت، زنوتیوم و مونازیت می‌باشند؛ توانایی رقابت برای گرفتن عناصر در یک کانی عامل اصلی مقدار مطلق REE در آن کانی است. مامگاهای نوع S پرآلومینوس و احیایی تر با فوگاسیته پایین‌تر اکسیژن و نسبت کمتر $\text{Ce}^{4+}/\text{Ce}^{3+}$ هستند. از این رو مونازیت پایدار و سنگ بسرعت از این کانی اشباع می‌گردد.

در آپاتیت‌های نوع S عناصر LREE بیشتر وارد ساختمان مونازیت می‌شوند که زودتر متبلور شده‌اند در نتیجه مذاب باقی‌مانده از این عناصر تهی می‌شود. حلایت مونازیت با مقدار اشباعی از آلومینیوم نسبت عکس دارد. ولی آپاتیت‌های گرانیتوئیدهای نوع I اکسیدی تر و متألومین هستند، مونازیت در آپاتیت‌های این نوع پایدار نیست. افزایش کلسیم در گرانیتوئید نوع I به اشباع شدگی سریع از آپاتیت منجر می‌شود که REE را از مذاب می‌گیرد و در نتیجه تبلور مونازیت به تأخیر می‌افتد. در این سنگها مونازیت فقط در مراحل پایانی که مذاب باقی‌مانده از Ca تهی شده و مامگما ترکیب فلزیک پیدا کرده است، متبلور می‌شود. بنابراین با استفاده از ترکیب آپاتیت، انواع مختلف گرانیتها از هم تشخیص داده می‌شوند. برای مثال الگوی REE، نسبتهای REE و درجه تهی شدگی از Eu برای انواع گرانیتها خاص است، همچنین صفات شیمیایی آپاتیت از آلومینویته (اشباع از آلومینابون) مذاب تبعیت می‌کند. از نظر پرآلومین بودن گرانیتوئیدهای نوع S و I تقریباً مشابه (نوع S پرآلومین تر هستند) ولی گرانیتوئید نوع I مافیک متألومین است بنابراین میزان آلومینیوم عاملی برای تفکیک گرانیتوئیدهای [9]. نمودار عنکبوتی REE برای آپاتیت‌های گرانیتوئیدهای نوع I خطی با شیب منفی (نسبت بالاتر LREE) و برای نوع S



شکل ۱۰. رفتار عناصر جزئی در آپاتیت‌های موجود در گرانیتوئید نوع I جزیره هرمز (الف) نمودار Ce در مقابل Ce در مقابل Y (ب) نمودار Ce در مقابل Nd (ت) نمودار Ce در مقابل LREE در مقابل Y+HREE (ث) نمودار Ce در مقابل LREE در مقابل Dy (چ) نمودار Ce در مقابل Total REE+Y

"Apatite as an indicator mineral for mineral exploration: trace-element compositions and their relationship to host rock type", Journal of Geochemical Exploration 76 (2002) 45–69.

[6] Ayers J. C., Watson E. B., "Apatite/fluid partitioning of rare-earth elements and strontium: experimental results at 1.0 GPa and 1000 °C and application to models of fluid–rock interaction", Chemical Geology 110 (1993) 299–314.

[7] Roder P. L., Macarthur D., Xin-Pei M., Palmer G. R., Mariano A. N., "Cathodoluminescence and microprobe study of rare earth elements in apatite", American Mineralogist 74 (1987) 896–901.

[8] Belousova E. A., Walters S., Griffin W. L., O'Reilly S. Y., "Trace element signatures of apatites from granitoids of Mount Isa Inlier, north-west Queensland, Australia", Australian Journal of Earth Sciences 48 (2001) 603–619.

[9] Sha L. K., Chappell B. W., "Apatite chemical composition, determined by electron microprobe and laser-ablation inductively coupled plasma mass spectrometry, as a probe into granite petrogenesis", Geochimica et Cosmochimica Acta 63 (1999) 3861–3881.

[10] Belousova E. A., "Trace elements in zircon and apatite: application to petrogenesis and mineral exploration", PhD thesis. Macquarie University, Australia (2000) 310 p.

[11] Blanford N. T., "Note on the geological formation seen along the coasts of Baluchistan and Persia from Karachi to the head of Persian Gulf", Geological Survey of India 5 (1872) 5–41.

[12] الیاسی ج، امین سبحانی ا، بهزاد ع، معین وزیری ح، میثمی ع، "زمین‌شناسی جزیره هرمز"، مجموعه مقالات دومین سمپوزیوم زمین‌شناسی ایران (1355) ص 31-72.

[13] احمدزاده هروی م، هوشمندزاده ع، نبوی م ح، "مفاهیم جدیدی از چینه‌شناسی سازند هرمز و مسأله دیاپیریزم در گنبدهای نمکی جنوب ایران"، مجموعه مقالات سمپوزیوم دیاپیریسم با نگاهی ویژه به ایران (1369) ص 1-22.

[14] Richardson R. K., "Die Geologie und die Salzdoms in sud-Westlichen des Persischen Golfes: Verh. Naturh-med", Ver Teile Heidelberg D. S 15 (1972).

[15] O'Reilly S. Y., Griffin W. L., "Apatite in the mantle: implications for metasomatic processes and high heat production in Phanerozoic mantle", Lithos 53 (2000) 217–232.

می‌رود این عناصر در کوارتزهای دودی با حاشیه سوخته (که به صورت رگه‌ای در منطقه وجود دارند) تمرکز یافته باشدند.

7- نمودارهای Sr در مقابل Y و Mn و همچنین نمودار Eu/Eu*(Ce/Yb)cn در مقابل REE و نمودار Y در مقابل آپاتیت‌های هرمز را آپاتیت‌های مرتبط با گرانیت‌وئیدها نشان می‌دهند.

8- در گرانیت‌وئیدهای نوع S نسبت Ce/Nd و Ce/Dy، Ce/Y نسبت کمتر از نوع I است میزان این نسبتها در آپاتیت‌های هرمز بالاست، در گرانیت‌وئیدهای نوع I نسبت LREE/HREE بیشتر است، با توجه به میزان 7 به 4 این نسبت در آپاتیت‌های هرمز، گرانیت‌وئیدهای هرمز از نوع I مافیک می‌باشند.

9- نسبت Fe₂O₃/FeO در آپاتیت‌های هرمز بالاست در نتیجه طبق نمودارهای مربوطه، آنها به گروه دو تعلق دارند و اکسیدی تر هستند.

قدرتانی

این مقاله حاصل طرح پژوهشی "بررسی ژئوشیمی عناصر نادر خاکی در آپاتیت‌های جزیره هرمز" است؛ بنابراین نویسنده‌گان لازم می‌دانند تا از حوزه پژوهشی دانشگاه پیام نور استان هرمزگان که هزینه انجام این پژوهه را تأمین کردند، تشکر کنند، همچنین از شرکت سیمان خمیر که آنالیزهای XRF را انجام دادند قدردانی می‌شود. از سردبیر مجله زمین‌شناسی اقتصادی و همچنین داوران محترم که راهنمایی‌های ارزندهای کردن کمال تشکر و سپاس را داریم.

منابع

- [1] Fleet M. E., Pan Y., "Site preference of rare earth elements in fluorapatite", American Mineralogist 80 (1995) 329–335.
- [2] Bea F., Fershtater G., Corretge L.G., "The geochemistry of phosphorus in granite and the effect of aluminum", Lithos 29 (1992) 43-45.
- [3] میسون ب، مرک. ب، (متترجم مرک، شرفی ع)، "أصول ژئوشیمی"، انتشارات دانشگاه شیراز (1382) ص. 566.
- [4] رولینسون ه، (متترجم کریم زاده ثمرین ع). "کاربرد داده‌های ژئوشیمیایی: ارزیابی، نمایش، تفسیر"، انتشارات دانشگاه تبریز (1391) ص. 557.
- [5] Belousova E. A., Walters S., Suzanne Y., Griffin W. L., O'Reilly S. Y., Fisher N. I.,

- intrusion*", American Mineralogist 57 (1972) 877-886.
- [19] Budzinski H., Tischendorf G., "Distribution of REE among minerals in the Hercynian post kinematic granites of West Erzgebirge- Vogland, GDR. Z", Zeitschrift fur Geologische Wissenschaften 17 (1989) 1019– 1031.
- [20] Chappell B. W., "Aluminum saturation in I and S-type granites and the characterization of fractionated haplogranites", Lithos 46 (1999) 535-551.
- [16] Coulson I. M., Chambers A. D., "Patterns of zonation in rare-earth-bearing minerals in nepheline syenites of the North Qo^roq Center, South Greenland", The Canadian Mineralogist 34 (1996) 1163–1178.
- [17] Rønsbo J. G., "Coupled substitutions involving REEs and Na and Si in apatites in alkaline rocks from the Ilmaussaq intrusion, South Greenland, and the petrological implications", American Mineralogist 74 (1989) 896– 901.
- [18] Nash W. P., "Apatite chemistry and Phosphorus fugacity in a differentiated igneous

Archive of SID